

Petrographic and chemical investigation of plagioclase, alkali feldspar, pyroxene and olivine minerals in gabbroic rocks of Robat – Shahr Babak region located in Kerman province, Iran

Sheida Akmali^{1*}, Abbas Moradian², Hamid Ahmadipour³, Massimo Tiepolo⁴

1* Department of Geology, Shahid Bahonar University, Kerman, Iran. 09118085274.
Sheidaakmali65@gmail.com

2Department of Geology, Shahid Bahonar University, Kerman, Iran. 09131420163. moradian@uk.ac.ir

3Department of Geology, Shahid Bahonar University, Kerman, Iran. 09133430397. hahmadi@uk.ac.ir

4Department of Earth Sciences, Universita Degli Studi Di Milano, Italy. 0393397722189.
Massimo.Tiepolo@unimi.it

Date of issue: 2024/10/03

Abstract:

The studied area is located in the southeast of Sanandaj-Sirjan zone, 31 km southwest of Shahr-Babak city and in the north of granodiorite batholith of Shahr-Babak city. In this area, isolated masses of gabbro outcrop, which caused the evolution of the southeastern part of the Sanandaj-Sirjan zone 173 million years ago. Examples of this area include dunite, olivine gabbro, hornblende gabbro, troctolite and granodiorite. In these samples, there are anorthosite streaks, which are the result of fractionation process (especially volatile materials), injection of new magmas and flow. In the investigations obtained from mineral chemistry, plagioclases have a composition of andesine to labradorite and alkaline feldspars have a composition of orthoclase. Pyroxenes are in the range of clinopyroxene (diopside) and olivines are in the range of chrysolite.

Key words: Gabbro, Chemistry of minerals, Sanandaj-Sirjan, Robat, Shahr-Babak, Kerman.

بررسی پتروگرافی و شیمی کانی‌های پلاژیوکلاز، فلدسپارآلکالن، پیروکسن و الیوین موجود در سنگ‌های گابرویی منطقه‌ی رباط - شهربابک واقع در استان کرمان، ایران

شیدا اکملی^{۱*}، عباس مرادیان^۲، حمید احمدی پور^۳، ماسیمو تیپولو^۴

^{۱*}بخش زمین‌شناسی، دانشگاه شهید باهنر کرمان، ایران. ۰۹۱۳۱۴۲۰۱۶۳. پست الکترونیکی: Sheidaakmali65@gmail.com

^۲بخش زمین‌شناسی، دانشگاه شهید باهنر کرمان، ایران. ۰۹۱۸۰۸۵۲۷۴. پست الکترونیکی: moradian@uk.ac.ir

^۳بخش زمین‌شناسی، دانشگاه شهید باهنر کرمان، ایران. ۰۹۱۳۳۴۳۰۳۹۷. پست الکترونیکی: hahmadi@uk.ac.ir

^۴بخش علوم زمین، دانشگاه یونیمی میلان، ایتالیا. ۰۳۹۳۳۹۷۷۲۲۱۸۹. پست الکترونیکی: Massimo.Tiepolo@unimi.it

تاریخ تنظیم مقاله: ۱۴۰۳/۰۷/۱۲

چکیده

منطقه‌ی مورد مطالعه، در جنوب‌شرق زون سندج – سیرجان، ۳۱ کیلومتری جنوب‌غرب شهرستان شهربابک و در شمال باتولیت گرانودیوریت شهرستان شهربابک قرار دارد. در این منطقه، توده‌های منفرد گابرویی رخمنون دارند که در ۱۷۳ میلیون سال پیش، موجب تکامل قسمت جنوب‌شرق زون سندج – سیرجان شد. نمونه‌های این منطقه، شامل دونیت، الیوین‌گابرو، هورنبلندگابرو، تروکتولیت و گرانودیوریت می‌باشند. در این نمونه‌ها، رگه‌های آنورتوزیتی وجود دارد که بر اثر فرایند تفریق (خصوصاً مواد فرار)، تزریق‌شدن ماقماهای جدید و جریان یافتن است. در بررسی‌های به‌دست‌آمده از شیمی کانی‌ها، پلاژیوکلازها، ترکیبی از نوع آندزین تا لابرادوریت و فلدسپارهای آلکالن، ترکیبی از نوع ارتوکلاز دارند. پیروکسن‌ها، در محدوده‌ی کلینوپیروکسن (دیوپسید) و الیوین‌ها، در گستره‌ی کریزولیت قرار دارند.

واژه‌های کلیدی: گابرو، شیمی کانی‌ها، سندج – سیرجان، رباط، شهربابک، کرمان.

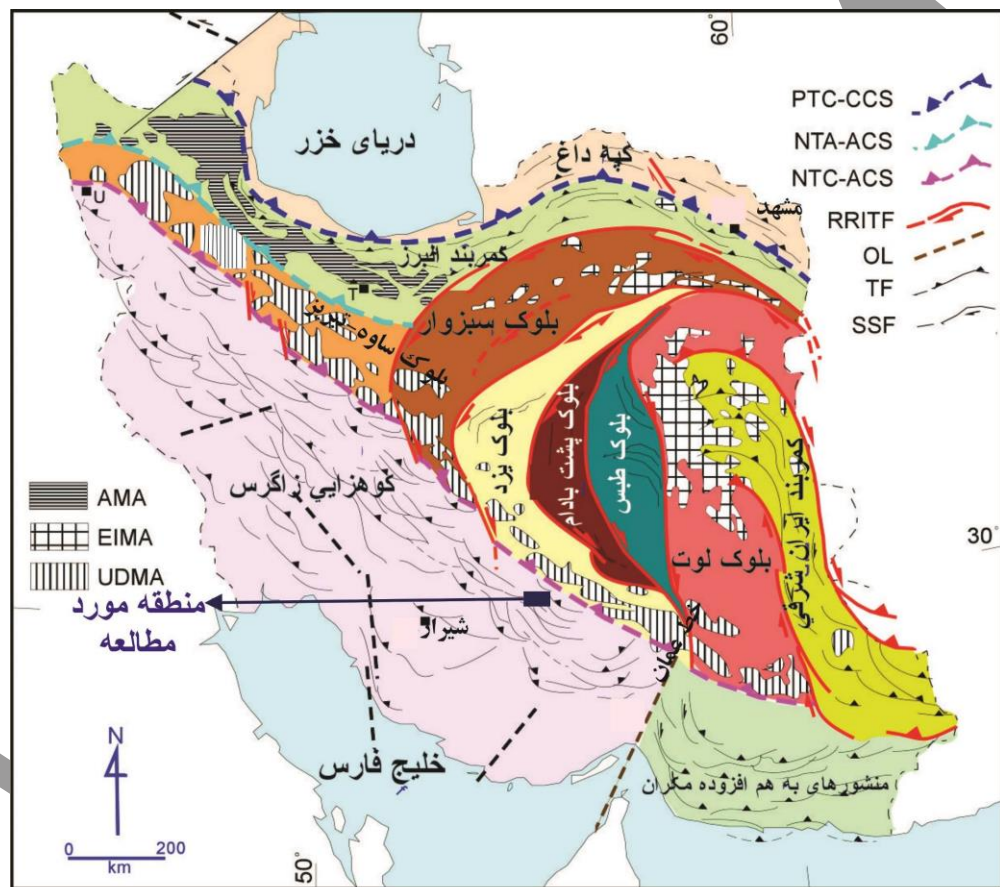
مقدمه

منطقه‌ی مورد مطالعه، در بین طول‌های جغرافیایی ۳۴° ، $۳۴^{\circ} ۵۴' ۵۴''$ تا $۴۳^{\circ} ۵۴' ۵۴''$ و عرض‌های جغرافیایی $۵۵^{\circ} ۲۹' ۰''$ و $۵۸^{\circ} ۰' ۲۹''$ واقع شده است. برخی از مطالعات پیشین در مورد زون سندج – سیرجان و منطقه‌ی مورد مطالعه‌ی رباط به شرح زیر است: [۱]، پنهانی سندج – سیرجان را بخش میانی نوار کوهزایی زاگرس در جنوب ایران و بخش‌های دیگر این نوار کوهزایی را مجموعه‌ی ماقمایی ارومیه – دختر، در شمال‌شرق و کمربند ساده‌ی چین خورده‌ی زاگرس در جنوب‌غرب با روندهای موازی معرفی کرد. همچنین او این کمربند کوهزایی را در نتیجه‌ی باز و بسته‌شدن اقیانوس نوتیس در اوخر پالئوزوئیک و مژوزوئیک دانست. بر اساس مطالعات بدست آمده از [۲]، با استفاده از روش U-Pb بر روی کانی‌های زیرکن، سن توده‌ی مافیک – اولترامافیک تل‌پهلوانی $۱۷۰/۵ \pm 1/9$ میلیون سال پیش تعیین شده است. زون سندج سیرجان، یکی از زون‌های مهم تکتونیکی کوهزاد زاگرس می‌باشد [۳، ۴، ۵، ۶، ۷، ۸].

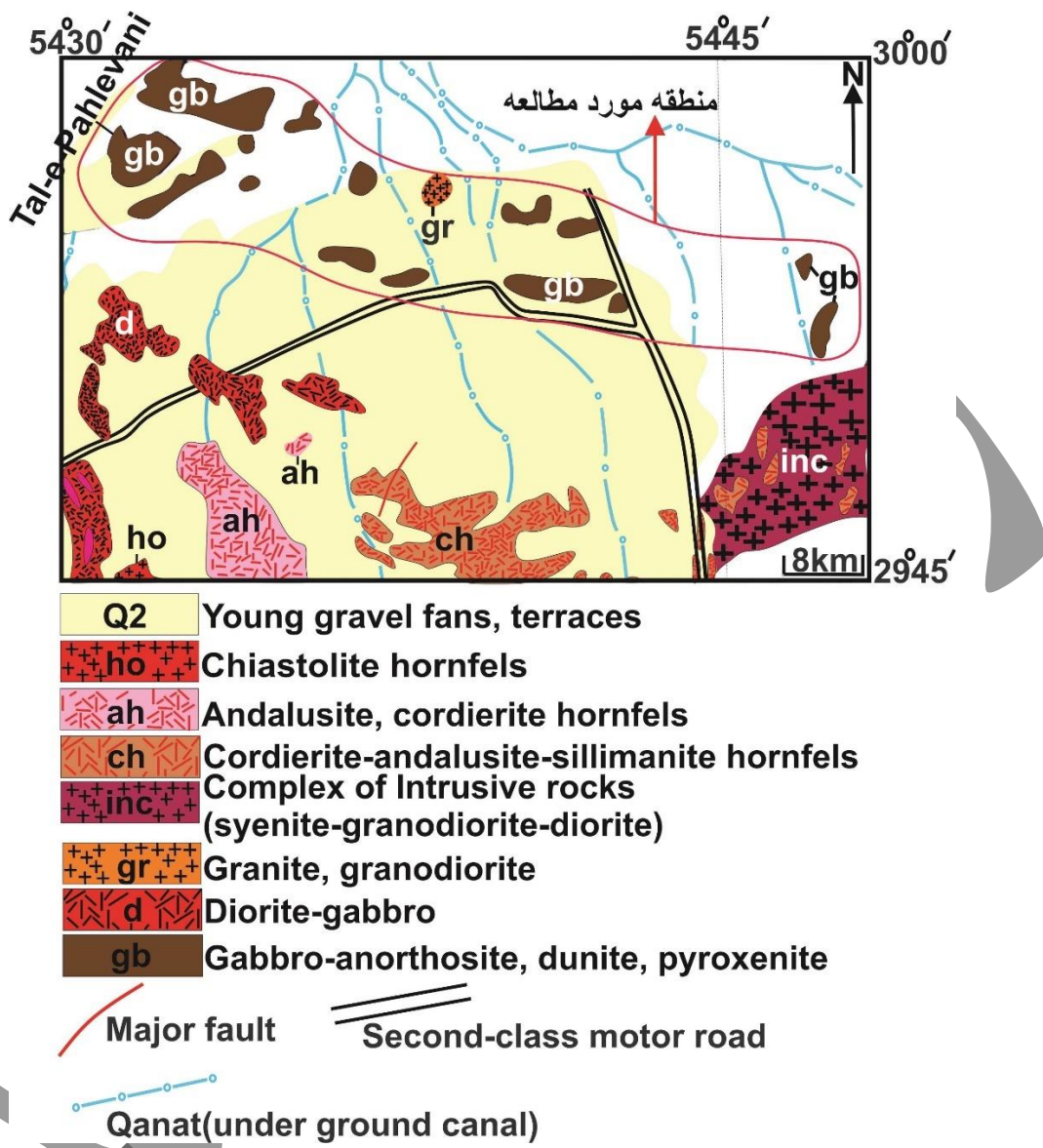
عده‌ای از محققین معتقدند که توده‌های نفوذی زون سندج – سیرجان از فروروانش نتوتیس به زیر صفحه‌ی ایران مرکزی ایجاد شده‌اند [۹، ۱۰، ۱۱] و سنگ‌های گابرویی مافیک و اولترامافیک در زون سندج – سیرجان رایج هستند [۱۱]. بر اساس مطالعات [۲، ۹، ۱۲] جدایش زون دگرگونی سندج – سیرجان در اثر کافتی‌شدن موجب ایجاد ماقمایی با ترکیب لوکوکوارتزدیوریت – آنورتوزیت

و گابروهای آپاتیتدار - پیروکسنتیت (کمپلکس مافیک - اولترامافیک) در بخش جنوبی این زون شد. موقعیت منطقه‌ی مورد مطالعه، در تقسیم‌بندی زون‌های ایران [۱۳] در شکل ۱ و همچنین، موقعیت این منطقه، در نقشه‌ی زمین‌شناسی ۱:۲۵۰۰۰۰ نیریز برگرفته از سازمان زمین‌شناسی کشور [۱۴] در شکل ۲ نشان داده است.

هدف از این مقاله، مطالعات صحرایی و پتروگرافی جهت تعیین ویژگی‌های کانی‌شناسی، سنج‌شناسی و بافتی سنگ‌های منطقه‌ی مورد مطالعه، بررسی شیمی کانی‌های پلازیوکلر، فلدسپار آلکالن، پیروکسن و الیوین موجود در نمونه‌های منطقه‌ی مورد مطالعه، با استفاده از آنالیز مایکروپرورب می‌باشد.



شکل ۱. موقعیت منطقه‌ی مورد مطالعه، در نقشه‌ی تقسیمات زمین‌ساختی ایران از [۱۳]. علائم اختصاری: AMA: مجموعه‌ی ماقمایی البرز، EIMA: مجموعه‌ی ماقمایی شرق ایران، PTC-CCS: زمین‌درز برخوردي کمان-کمان نتوتیس، NTA-ACS: زمین‌درز برخوردي قاره-کمان نتوتیس، NTC-ACS: زمین‌درز برخوردي قاره-فالوتوتیس، RRITF: گسل ترانسفورم درون‌قاره‌ای وابسته به چرخش، TF: گسل تراستی، SSF: گسل امتدادلغز، T: تهران، U: ارومیه، UDMA: کمان ماقمایی ارومیه - دختر.



شکل ۲. موقعیت منطقه‌ی مورد مطالعه‌ی رباط، در نقشه‌ی اصلاح شده‌ی زمین‌شناسی ۱:۲۵۰۰۰۰ نیریز پرگرفته از سازمان زمین‌شناسی کشور [۱۴].

محیط زمین‌شناسی

منطقه‌ی مورد مطالعه‌ی رباط، در جنوب‌شرقی زون سنندج – سیرجان قرار دارد و شامل توده‌های نفوذی نظیر دونیت‌ها، الیوین‌گابروها، هورنبلند‌گابروها، تروکتولیت‌ها و گرانوپوریت‌ها می‌باشد. در این منطقه، رخنمون توده‌های گابرویی که بلندترین آن‌ها تل پهلوانی است (شکل ۳-الف و ب) با ارتفاع ۱۶۶۳ متر وجود دارد که در ۱۷۳ میلیون سال پیش، موجب تکامل قسمت جنوب‌شرق زون سنندج – سیرجان شد [۲]. دونیت‌های این منطقه، منحصرا در کنタکت جنوب‌غربی تل پهلوانی بیرون‌زدگی دارند و در قله‌ی آن به صورت آنکلاو قرار دارند، قلوهای مانند هستند و اندازه‌ی قلوهای از ۵ سانتی‌متر تا ۱/۵ متر می‌باشند. سطح تازه شکسته‌شده‌ی این سنگ‌ها، به رنگ خاکستری تیره تا سیاه و در نمونه‌ی هوازده، قهوه‌ای رنگ هستند. در الیوین‌گابروها، آنکلاوهایی از جنس گابرو ولی روشن‌تر وجود دارند که احتمالاً مربوط به مagmaهای تفریق‌یافته هستند (شکل ۳-پ). هورنبلند‌گابروهای منطقه‌ی

مورد مطالعه‌ی رباط بعد از الیوین‌گابروها، بیشترین فراوانی را دارند. این سنگ‌ها، به صورت توده‌ای و گنبدهای وجود دارند (شکل ۳-ت) ولی اکثراً به شدت تکتونیزه و خرد شده هستند و دارای درزهای فراوانی از قبیل انقباضی و تکتونیکی می‌باشند. تروکتولیت‌های منطقه‌ی مورد مطالعه‌ی رباط، دچار هوازدگی اندکی شده‌اند و نمونه‌برداری از آن‌ها به سهولت امکان‌پذیر می‌باشد. این سنگ‌ها، لایه‌بندی ماقمایی دارند. لایه‌بندی در آن‌ها، اکثراً به صورت لایه‌های تیره و روشن (رگه‌های آنورتوزیتی)، با رنگ کاملاً سفید (شکل ۳-ث) مشاهده می‌گردد که احتمالاً بر اثر فرایند تفریق (خصوصاً مواد فرار)، تزریق شدن ماقماهای جدید و جریان یافتن ایجاد می‌گردد [۱۵]. توده‌ی نفوذی گرانودیوریت این منطقه، در امتداد توده‌های گابرویی و در بین آن‌ها، بیرون زدگی دارد. این سنگ‌ها، در سطح تازه شکسته شده به رنگ خاکستری تیره و رنگ هوازدگی آن، قهوه‌ای تیره می‌باشد. در این سنگ‌ها، آب از درزهای انقباضی از نوع کششی نفوذ کرده و باعث شده که گرانودیوریت‌ها به صورت فرسایش پوست پیازی از نوع شیمیایی فرسایش داده شوند (شکل ۳-ج).



شکل ۳. الف-نمایی از توده‌ی مافیک تل پهلوانی، ب-مورفولوژی تل پهلوانی، پ-نمونه‌ای از آنکلاو در الیوین‌گابروها، ت-نمایی از هورنبلندگابروها، ث-رگه‌های آنورتوزیتی در تروکتولیت‌ها، ج-فرسایش پوست پیازی در گرانودیوریت‌ها.

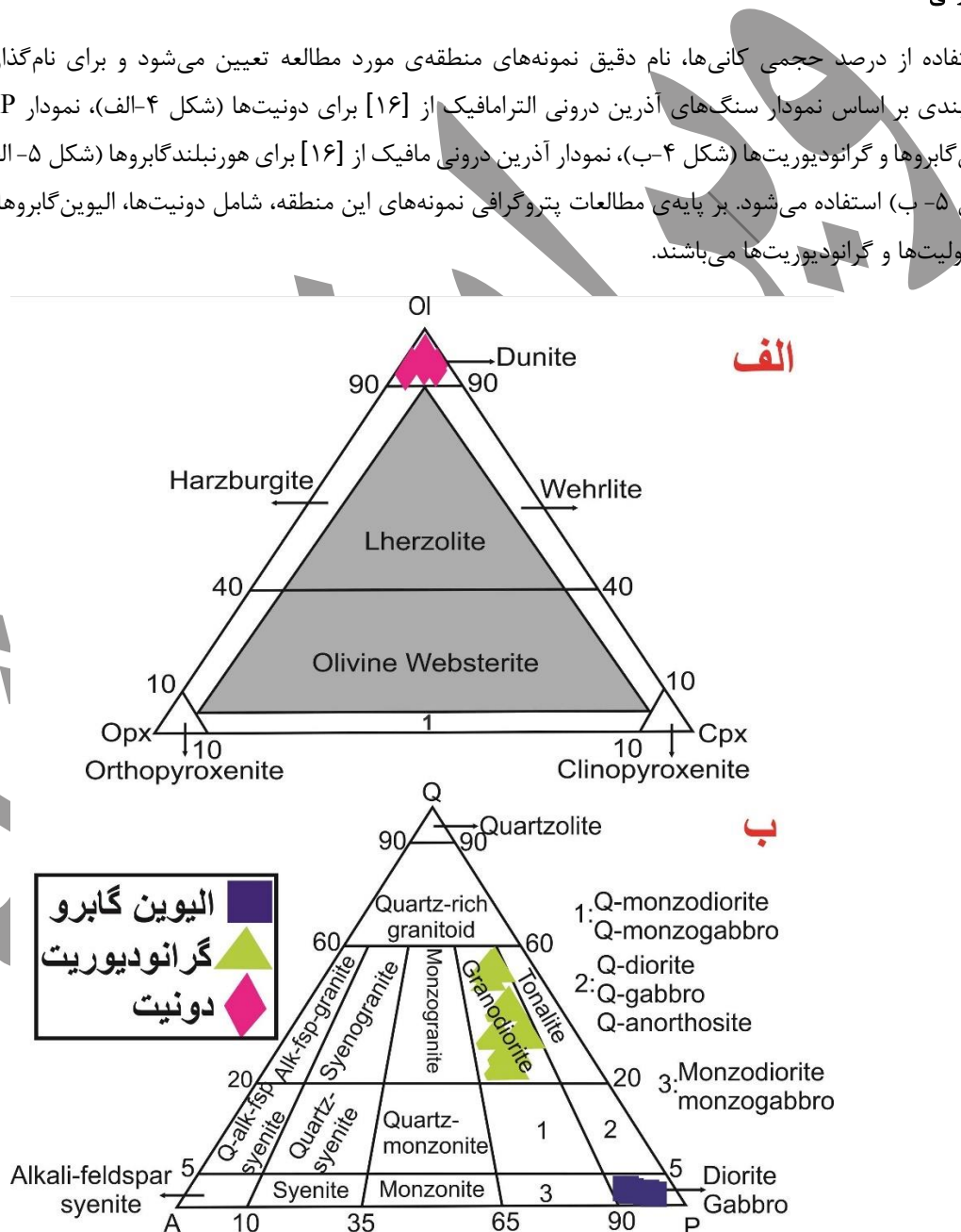
روش کار

پس از مطالعات صحراوی و نمونه‌برداری در منطقه‌ی مورد مطالعه، از برخی نمونه‌های سالم‌تر، مقاطع نازک و صیقلی تهیه شد و با استفاده از میکروسکوپ پلاریزان در دانشگاه شهید باهنر کرمان، ایران مطالعات پتروگرافی انجام شد. مراحل بعدی آزمایشات شیمی

کانی‌ها در دانشگاه Universita Degli Studi Di Milano) در کشور ایتالیا صورت گرفت و بر روی کانی‌های اصلی الیوین‌گابرو، هورنبلند‌گابرو و گرانودیوریت آنالیز مایکروپروب انجام شد. تجزیه و تحلیل شیمیایی کانی‌ها با یک سوپر پروب (WDS) JEOL ۸۲۰۰ در ولتاژ شتابدهنده‌ی ۱۵ kV و با جریان پرتو ۵ nA انجام شد و سپس، بهوسیله‌ی نرمافزارهای گرافیکی و تخصصی (Excel, Corel draw, Igpet, Minpet,...) تحلیل آنالیزهای ژئوشیمیایی صورت گرفت و نتایج آنالیزها، مورد بحث و بررسی قرار گرفت.

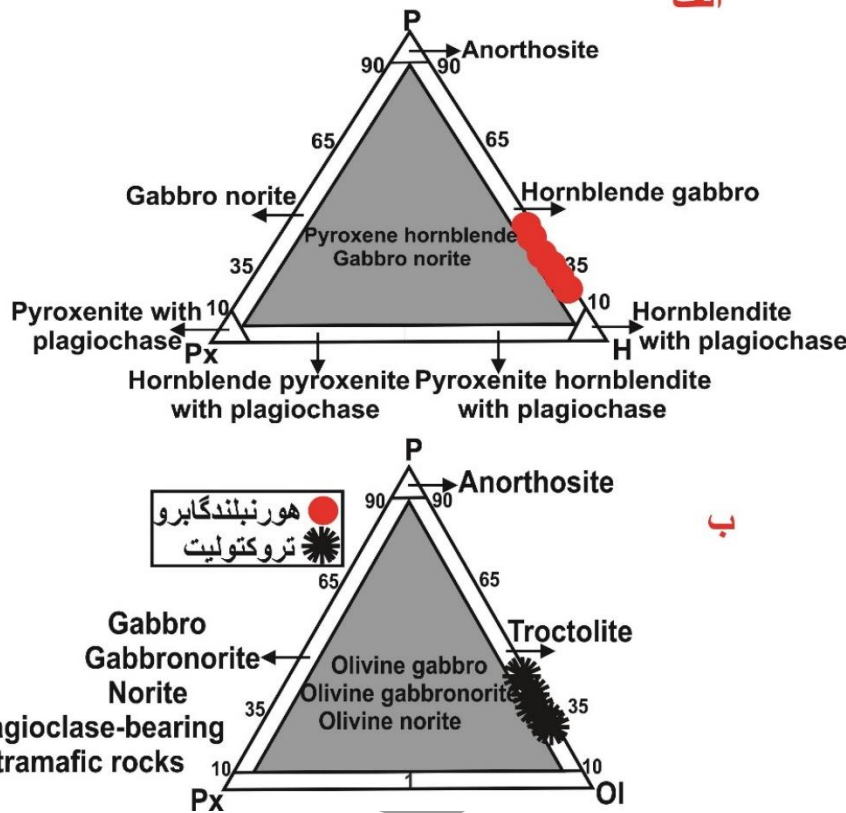
پتروگرافی

با استفاده از درصد حجمی کانی‌ها، نام دقیق نمونه‌های منطقه‌ی مورد مطالعه تعیین می‌شود و برای نام‌گذاری دقیق آن‌ها از طبقه‌بندی بر اساس نمودار سنگ‌های آذرین درونی الترامافیک از [۱۶] برای دونیت‌ها (شکل ۴-الف)، نمودار QAP از [۱۶] برای الیوین‌گابروها و گرانودیوریت‌ها (شکل ۴-ب)، نمودار آذرین درونی مافیک از [۱۶] برای هورنبلند‌گابروها (شکل ۵-الف) و تروکتولیت‌ها (شکل ۵-ب) استفاده می‌شود. بر پایه‌ی مطالعات پتروگرافی نمونه‌های این منطقه، شامل دونیت‌ها، الیوین‌گابروها، هورنبلند‌گابروها، تروکتولیت‌ها و گرانودیوریت‌ها می‌باشد.



شکل ۴. الف- موقعیت دونیت‌های منطقه‌ی مورد مطالعه، در نمودار سنگ‌های آذرین درونی الترامافیک از [۱۶]. ب- موقعیت الیوین‌گابروها و گرانودیوریت‌های منطقه‌ی مورد مطالعه، در نمودار طبقه‌بندی مصالح QAP از [۱۶].

الف



ب

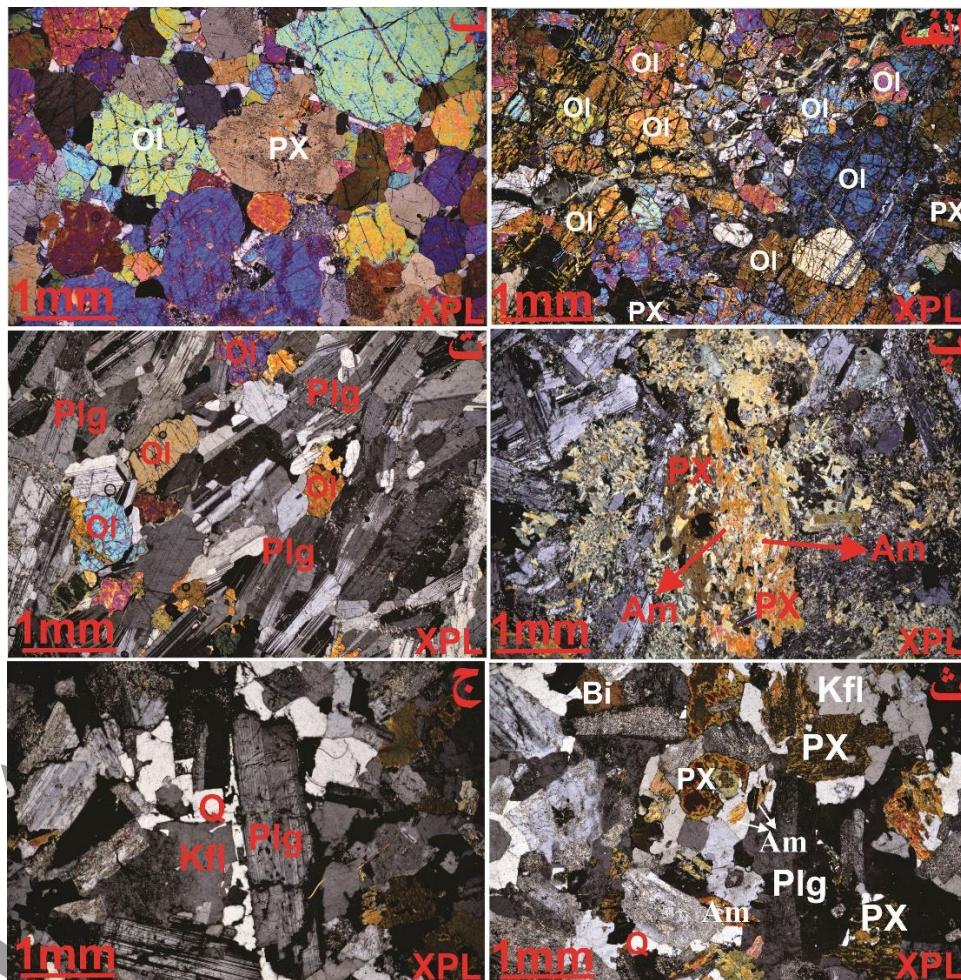
شکل ۵. الف- موقعیت هورنبلندگابروهای منطقه‌ی مورد مطالعه، در نمودار سنگ‌های آذرین درونی مافیک از [۱۶]، ب- موقعیت تروکتولیت‌های منطقه‌ی مورد مطالعه، در نمودار سنگ‌های آذرین درونی مافیک از [۱۶].

دونیت‌ها: این سنگ‌ها (شکل ۶-الف)، دارای کانی‌های الیوین (۹۵٪)، پیروکسن (۰.۲٪)، پلاژیوکلاز (۱٪)، آپاتیت (۰٪/۵) و کلسیت (۰٪/۵) می‌باشند. بافت غالب این سنگ‌ها، گرانولار است. از اصلی‌ترین کانی‌های موجود در این سنگ‌ها، الیوین‌های به اشکال یوهدرال تا ساب‌هدral، هستند و اندازه‌ای در حدود ۰/۵ تا ۵ میلی‌متر دارند. الیوین‌ها، یک فاز انباستی مهم در بسیاری از سنگ‌های آذرین درونی هستند [۱۷]. پیروکسن‌ها، زاویه‌ی خاموشی ۳۵ درجه دارند و اندازه‌ی این کانی‌ها، تقریباً ۰/۵ تا ۱/۵ میلی‌متر هستند و ماکل ساده و دوتایی دارند. همچنین، پلاژیوکلازها، اندازه‌ای در حدود ۰/۵ تا ۱/۵ میلی‌متر و زاویه‌ی خاموشی ۳۷ درجه دارند.

الیوین‌گابروها: این سنگ‌ها، دارای کانی‌های پلاژیوکلاز (۴۲٪)، فلدسپارآلکالن (۰٪/۵)، الیوین (۰٪/۲۴)، پیروکسن (۰٪/۲۰)، آپاتیت (۰٪/۵)، آپاتیت (۰٪/۵)، کلریت (۰٪/۵) و کلینوزوئیزیت (۰٪/۵) می‌باشند. در این سنگ‌ها، پلاژیوکلازها اندازه‌ی در حدود ۰/۵ تا ۵ میلی‌متر و زاویه‌ی خاموشی ۳۰ تا ۳۸ درجه، دارند. فلدسپارهای آلکالن، با ابعادی در حدود ۰/۵ تا ۲ میلی‌متر و الیوین‌ها، به صورت یوهدرال تا آن‌هدral و اندازه‌ای در حدود ۰/۵ تا ۴/۵ میلی‌متر یافت می‌شوند. پیروکسن‌ها، اندازه‌ای در حدود ۰/۵ تا ۳ میلی‌متر و زاویه‌ی خاموشی، ۳۵ تا ۴۵ درجه دارند. بافت غالب الیوین‌گابروها، گرانولار است (شکل ۶-ب). این سنگ‌ها، حاوی بافت‌های فرعی غربالی، افیتیک، پوئی‌کیلیتیک و آنکلاو هم‌ماگما هستند.

هورنبلندگابروها: این سنگ‌ها، حاوی کانی‌های پلاژیوکلاز (۵۴٪)، فلدسپارآلکالن (۰٪/۵)، پیروکسن (۰٪/۵) و الیوین (۰٪/۵)، آپاتیت (۰٪/۵)، آپاتیت (۰٪/۵)، آمفیبول (۰٪/۱۰)، کلریت (۰٪/۵) و کلیزیت (۰٪/۵) می‌باشند. در این سنگ‌ها، پلاژیوکلازها با اندازه‌ای در حدود ۰/۵ تا ۴/۵ میلی‌متر، زاویه‌ی خاموشی ۳۰ درجه دارند. فلدسپارهای آلکالن، در اندازه‌ی تقریباً ۰/۵ تا ۱ میلی‌متر و الیوین‌ها،

به صورت یوهدرال تا آن هدرال هستند و اندازه‌ای در حدود ۰/۵ میلی‌متر دارند. پیروکسن‌ها با اندازه‌ای در حدود ۰/۵ تا ۵ میلی‌متر، زاویه‌ی خاموشی، ۳۵ تا ۴۵ درجه دارند و در برخی از نمونه‌های منطقه‌ی مورد مطالعه، کانی پیروکسن، در حال تبدیل به کانی آمفیبول می‌باشد (شکل ۶-پ).



شکل ۶. الف- سنگ دونیت، ب- بافت گرانولار در الیوین‌کابروها، پ- تبدیل کانی پیروکسن به کانی آمفیبول در هورنبلند‌کابروها، ت- تروکتولیت، ث- بافت گرانولار در گرانودیبوریت‌ها. ج- بافت گرانولوفیر در گرانودیبوریت‌ها. Plg: پلازیوکلاز؛ Kfl: فلدسپار‌آلکالن، PX: پیروکسن، Bi: الیوین، Am: بیوتیت، Q: آمفیبول، Ol: کوارتز.

تروکتولیت‌ها: در این سنگ‌ها (شکل ۶-ت)، کانی‌های پلازیوکلاز (۸۵٪)، الیوین (۱۸٪) و پیروکسن (۳٪)، اپک (۱٪)، بیوتیت (۵٪) و آپاتیت (۵٪)، کلریت (۵٪) و کلسیت (۵٪) وجود دارند. پلازیوکلازها در این سنگ‌ها، به صورت فنوکریست‌های کشیده با اندازه‌ی ۰/۵ تا ۳/۵ میلی‌متر می‌باشند. این کانی‌ها، با زاویه‌ی خاموشی ۳۲ درجه هستند. الیوین‌ها، به صورت یوهدرال تا آن هدرال است و اندازه‌ای در حدود ۰/۵ تا ۲/۵ میلی‌متر دارند و پیروکسن‌ها، با اندازه‌ی ۰/۵ میلی‌متر و زاویه‌ی خاموشی ۳۰ درجه می‌باشند. در تروکتولیت‌ها، بافت اصلی گرانولار و بافت فرعی اینترگرانولار، غربالی و پوئی کیلیتیکی دیده می‌شوند.

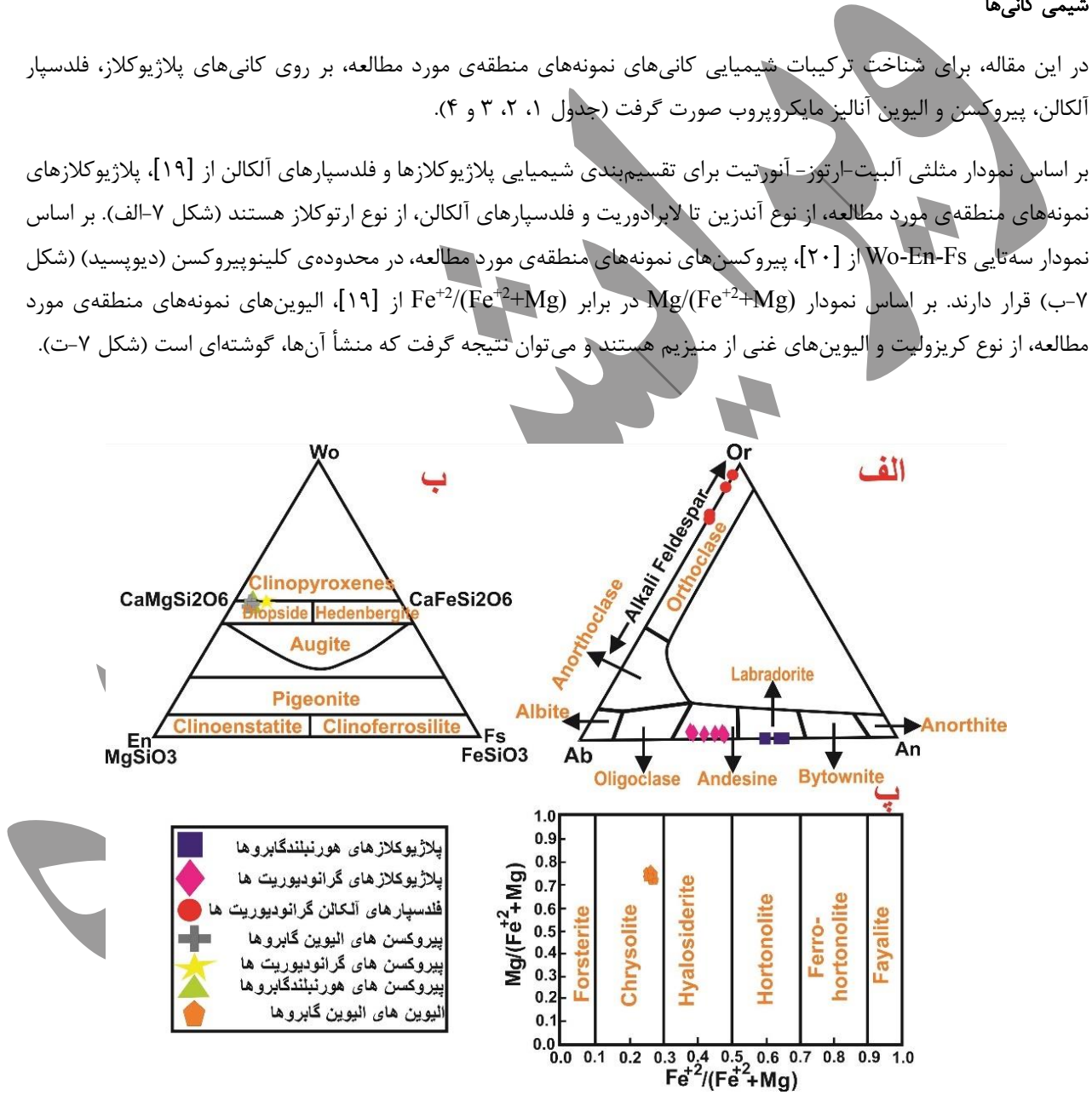
گرانودیبوریت‌ها: این سنگ‌ها، حاوی کانی‌های پلازیوکلاز (۴۵٪)، فلدسپار‌آلکالن (۱۵٪)، کوارتز (۲۰٪) و پیروکسن (۳٪)، بیوتیت (۹٪)، اپک (۱٪) و آپاتیت (۵٪)، آمفیبول (۵٪)، کلریت (۱٪) و کلسیت (۵٪) می‌باشند. در این سنگ‌ها، زاویه‌ی خاموشی

کانی‌های پلازیوکلاز، ۳۰ تا ۳۸ درجه می‌باشد که دلالت بر لابرادوریتی بودن آن دارد. فلدسپارهای آلکالن، در اندازه‌ی تقریبی ۰/۵ تا ۲/۵ میلی‌متر و کوارتزها، به صورت ساب‌هدرال تا آن‌هدرال با حاشیه‌های نامنظم و اندازه‌های در حدود ۰/۵ تا ۲ میلی‌متر وجود دارند. پیروکسن‌ها، با اندازه‌ی ۰/۵ تا ۲/۵ میلی‌متر، زاویه‌ی خاموشی ۳۰ تا ۴۸ درجه دارند. در این سنگ‌ها، بافت اصلی گرانولار (شکل ۶-ث) و بافت فرعی گرانوفیری (شکل ۶-ج) وجود دارد. بافت گرانوفیری، در نتیجه‌ی تبلور همزمان کوارتز و فلدسپار آلکالن در آخرین قطرات مذاب بین بلوری ایجاد می‌شود [۱۸].

شیمی کانی‌ها

در این مقاله، برای شناخت ترکیبات شیمیایی کانی‌های نمونه‌های منطقه‌ی مورد مطالعه، بر روی کانی‌های پلازیوکلاز، فلدسپار آلکالن، پیروکسن و الیوین آنالیز مایکروپریوب صورت گرفت (جدول ۱، ۲، ۳ و ۴).

بر اساس نمودار مثلثی آلبیت-ارتوز-آنورتیت برای تقسیم‌بندی شیمیایی پلازیوکلازها و فلدسپارهای آلکالن از [۱۹]، پلازیوکلازهای نمونه‌های منطقه‌ی مورد مطالعه، از نوع آندزین تا لابرادوریت و فلدسپارهای آلکالن، از نوع ارتوزکلаз هستند (شکل ۷-الف). بر اساس نمودار سه‌تایی Wo-En-Fs از [۲۰]، پیروکسن‌های نمونه‌های منطقه‌ی مورد مطالعه، در محدوده‌ی کلینوپیروکسن (دیوپسید) (شکل ۷-ب) قرار دارند. بر اساس نمودار $(\text{Fe}^{+2} + \text{Mg}) / (\text{Fe}^{+2} + \text{Mg})$ در برابر $\text{Fe}^{+2} / (\text{Fe}^{+2} + \text{Mg})$ از [۱۹]، الیوین‌های نمونه‌های منطقه‌ی مورد مطالعه، از نوع کریزولیت و الیوین‌های غنی از منیزیم هستند و می‌توان نتیجه گرفت که منشأ آن‌ها، گوشه‌ای است (شکل ۷-ت).



شکل ۷. الف- موقعیت پلازیوکلازها و فلدسپارهای آلکالن در نمودار آلبیت-ارتوز-آنورتیت از [۱۹]، ب- موقعیت پیروکسن‌ها در نمودار Wo-En-Fs از [۲۰]، پ- موقعیت الیوین‌ها در نمودار $(\text{Fe}^{+2} + \text{Mg}) / (\text{Fe}^{+2} + \text{Mg})$ در برابر $\text{Fe}^{+2} / (\text{Fe}^{+2} + \text{Mg})$ از [۱۹]

جدول ۱- نتایج حاصل از آنالیز نقطه‌ای پلازموکلازهای نمونه‌های منطقه‌ی مورد مطالعه‌ی رباط. محاسبه‌ی کاتیون‌ها بر پایه‌ی ۸ اتم اکسیژن (اکسیدهای عناصر اصلی برحسب درصد وزنی % و کاتیون‌ها بر حسب.apfu (atoms per formula units).

شماره نمونه‌ها و نقاط آنالیز شده	RA1-1- A7-Plg- ۳۲	RA1-1- A8-Plg- ۳۶	RA1-1- A9-Plg- ۴۰	RA1-1- A1۰- Plg-۴۴	RA1-1- A1۱- Plg-۴۶	RA1-1- A1۱- Plg-۴۷	RA1-1- A1۱- Plg-۴۸
نام سنگ	هورنبلند گابرو	هورنبلند گابرو	هورنبلند گابرو	هورنبلند گابرو	هورنبلند گابرو	هورنبلند گابرو	هورنبلند گابرو
SiO _۴	۵۲/۹۵	۵۳/۴۷	۵۳/۴	۵۳/۰۱	۵۲/۷	۵۴/۴۱	۵۳/۹۱
TiO _۴	۰/۰۰۹	۰/۰۵۶۸	۰	۰/۰۴۰۳	۰/۰۱۰۵	۰/۰۱۰۴	۰/۰۶۵۸
Al _۲ O _۳	۲۸/۸۱	۲۸/۹	۲۹/۸۴	۲۹/۶۴	۲۹/۹۹	۲۹/۳۶	۲۹/۴۲
FeO	۰/۱۸۴۱	۰/۱۹۱۲	۰/۱۱۷	۰/۲۴۴۷	۰/۲۲۳۱	۰/۱۴۸۸	۰/۱۰۱۵
MnO	۰	۰	۰/۰۳۶۸	۰	۰	۰	۰/۰۰۷۴
MgO	۰/۰۰۷۶	۰	۰/۰۳۲۴	۰	۰	۰	۰/۰۰۵۷
CaO	۱۱/۸۵	۱۱/۵۹	۱۲/۰۵	۱۲/۶۶	۱۲/۸۱	۱۱/۴۵	۱۱/۰۹
Na _۲ O	۴/۸۱	۴/۶۳	۴/۵۱	۴/۲۴	۳/۹۵	۴/۷۸	۴/۷۷
K _۲ O	۰/۰۴۱۲	۰/۰۶۱۷	۰/۰۲۸۲	۰/۰۴۸۶	۰/۰۵۱۱	۰/۰۳۱	۰/۰۳۷۹
Cr _۲ O _۳	۰	۰	۰	۰/۰۱۳۲	۰	۰	۰/۰۰۷۸
Total ox	۹۸/۶۶	۹۸/۹	۱۰۰/۰۱	۹۹/۹	۹۹/۷۳	۱۰۰/۱۹	۹۹/۹۲
Si	۲/۴۲۸	۲/۴۴۱	۲/۴۱۲	۲/۴۰۲	۲/۳۹۳	۲/۴۵	۲/۴۳۴
Ti	۰	۰/۰۰۴	۰	۰/۰۰۳	۰	۰	۰/۰۰۳
Al	۱/۵۶۱	۱/۵۵۲	۱/۵۹۱	۱/۵۸۶	۱/۶۰۵	۱/۵۵۸	۱/۵۶۹
Fe ^۲	۰/۰۰۸	۰/۰۰۸	۰/۰۰۵	۰/۰۰۸	۰/۰۰۸	۰/۰۰۵	۰/۰۰۳
Mn	۰	۰	۰/۰۰۳	۰	۰	۰	۰
Mg	۰	۰	۰/۰۰۴	۰	۰	۰	۰
Ca	۰/۰۸۱	۰/۰۶۸	۰/۰۸۳	۰/۰۱۶	۰/۰۲۲	۰/۰۵۲	۰/۰۶۲
Na	۰/۰۴۳	۰/۰۱۲	۰/۰۹۶	۰/۰۳۷	۰/۰۳۵	۰/۰۱۶	۰/۰۱۸
K	۰	۰/۰۰۶	۰	۰/۰۰۶	۰/۰۰۶	۰	۰
Cr	۰	۰	۰	۰	۰	۰	۰
Total cations	۵/۰۰۸	۴/۹۹۱	۴/۹۹۳	۴/۹۹۱	۴/۹۸۴	۴/۹۸	۴/۹۸۹
Ab	۰/۰۴۳	۰/۰۴۲	۰/۰۴۰	۰/۰۳۷	۰/۰۳۶	۰/۰۴۳	۰/۰۴۳
An	۰/۰۷	۰/۰۸	۰/۰۹۰	۰/۰۶۲	۰/۰۶۴	۰/۰۷	۰/۰۷
Or	۰	۰/۰۰۶	۰	۰/۰۰۶	۰/۰۰۶	۰	۰

ادامه‌ی جدول ۱- نتایج حاصل از آنالیز نقطه‌ای پلازموکلازهای نمونه‌های منطقه‌ی مورد مطالعه‌ی رباط. محاسبه‌ی کاتیون‌ها بر پایه‌ی ۸ اتم اکسیژن (اکسیدهای عناصر اصلی بر حسب درصد وزنی wt% و کاتیون‌ها بر حسب (apfu (atoms per formula units).

شماره نمونه‌ها و نقاط آنالیز شده	RA1-1- A12- Plg-51	RA1- 6-A6- Plg-20	RA1- 6-A13- Plg-37	RA1- 6-A14- Plg-38	RA1- 6-A15- Plg-42	RA1- 6-A5- Plg- PROF ILE-1	RA1- 6-A5- Plg- PROF ILE-2	RA1- 6-A5- Plg- PROF ILE-3
نام سنگ	هورنبلند گابرو	گرانو دیوریت	گرانو دیوریت	گرانو دیوریت	گرانو دیوریت	گرانو دیوریت	گرانو دیوریت	گرانو دیوریت
SiO_4	۵۳/۸۴	۶۰/۱۴	۵۸/۵۴	۵۷/۶۸	۵۹/۷۴	۵۷/۷۹	۵۷/۹۳	۶۰/۲۲
TiO_4	•	۰/۰۳۸۸	۰/۰۲۳۹	۰/۰۱۹۴	۰/۰۴۶۲	۰/۰۵۵۲	۰/۰۱۷۹	۰/۰۴۳۲
Al_2O_3	۲۸/۳۶	۲۵/۰۵	۲۶/۲۱	۲۶/۶۳	۲۵/۷۳	۲۶/۴۵	۲۶/۴۶	۲۵/۱۷
FeO	۰/۱۴۲۹	۰/۱۱۱	۰/۱۶۰۹	۰/۳۴۹۷	۰/۱۹۷۳	۰/۲۸۰۵	۰/۲۵۸۱	۰/۲۷۲۱
MnO	۰/۰۲۰۶	۰/۰۱۶۲	۰/۰۱۲۵	•	•	•	۰/۰۱۲۵	۰/۰۲۴۳
MgO	•	۰/۰۰۲۹	۰/۰۲۵	۰/۰۱۵۴	•	۰/۰۲۷	•	•
CaO	۱۱/۱۴	۶/۹۵	۸/۴	۸/۸۸	۷/۶۸	۸/۸۵	۸/۴۶	۶/۸۲
Na_2O	۵/۰۹	۷/۱۲	۶/۳۶	۵/۹۷	۶/۷۴	۶/۱۱	۶/۳۶	۷/۲۵
K_2O	۰/۰۲۶۱	۰/۳۷۴۹	۰/۱۳۳۱۶	۰/۳۲۲۳	۰/۳۳۷۹	۰/۴۶۱۱	۰/۳۸۶	۰/۴۵۸۵
Cr_2O_3	۰/۰۰۵۶	۰/۰۲۸۵	•	۰/۰۳۳۶	•	•	۰/۰۱۳۲	۰/۰۳۱
Total ox	۹۸/۶۳	۹۹/۸۳	۱۰۰/۰۶	۹۹/۹	۱۰۰/۴۷	۱۰۰/۰۲	۹۹/۹	۱۰۰/۷۹
Si	۲/۶۴۶	۲/۶۸۳	۲/۶۱۵	۲/۵۹	۲/۶۵۱	۲/۵۹۱	۲/۵۹۶	۲/۶۸۴
Ti	•	•	•	•	۰/۰۰۳	۰/۰۰۳	•	۰/۰۰۳
Al	۱/۵۳	۱/۳۱۹	۱/۳۸۱	۱/۴۰۹	۱/۳۴۵	۱/۳۹۶	۱/۴۰۱	۱/۳۱۲
Fe ^{۲+}	۰/۰۰۶	۰/۰۰۵	۰/۰۰۵	۰/۰۱۳	۰/۰۰۸	۰/۰۱۱	۰/۰۱۱	۰/۰۱۱
Mn	•	•	•	•	•	•	•	•
Mg	•	•	۰/۰۰۳	•	•	۰/۰۰۳	•	•
Ca	۰/۴۴۷	۰/۳۳۲	۰/۴۰۳	۰/۴۲۶	۰/۳۶۵	۰/۴۲۶	۰/۴۰۷	۰/۳۲۴
Na	۰/۴۵۲	۰/۶۱۶	۰/۵۴۵	۰/۵۱۸	۰/۵۸۲	۰/۵۳۴	۰/۵۵۴	۰/۶۲۲
K	•	۰/۰۲۲	۰/۰۲۲	۰/۰۱۶	۰/۰۲۲	۰/۰۲۶	۰/۰۲۲	۰/۰۲۶
Cr	•	•	•	•	•	•	•	•
Total cations	۴/۹۹۹	۴/۹۷۶	۴/۹۸۳	۴/۹۷۲	۴/۹۷۷	۴/۹۹	۴/۹۹۱	۴/۹۸۳
Ab	۰/۴۵	۰/۶۴	۰/۵۶	۰/۵۴	۰/۶۰	۰/۵۴	۰/۵۶	۰/۶۴
An	۰/۵۵	۰/۳۴	۰/۴۱	۰/۴۴	۰/۴۸	۰/۴۳	۰/۴۱	۰/۴۳
Or	•	۰/۰۲	۰/۰۲	۰/۰۲	۰/۰۲	۰/۰۳	۰/۰۲	۰/۰۳

جدول ۲- نتایج حاصل از آنالیز نقطه‌ای فلدوپارهای آلکالن نمونه‌های منطقه‌ی مورد مطالعه‌ی رباط. محاسبه‌ی کاتیون‌ها بر پایه‌ی ۸ اتم اکسیژن (اکسیدهای عناصر اصلی بر حسب درصد وزنی wt% و کاتیون‌ها بر حسب (apfu (atoms per formula units).

شماره نمونه‌ها و نقاط آنالیز شده	RA ۱-۶- A۶-Kfl- ۱۹	RA ۱-۶- A۸-Kfl- ۲۵	RA ۱-۶- A۹-Kfl- ۲۸	RA ۱-۶- A۱۱-Kfl- ۳۱	RA ۱-۶- A۱۳- Kfl-۳۵	RA ۱-۶-A۱۵- Kfl-۴۳
نام سنگ دیبوریت	گرانو دیبوریت	گرانو دیبوریت	گرانو دیبوریت	گرانو دیبوریت	گرانو دیبوریت	گرانو دیبوریت
SiO _۴	۶۵/۱۱	۶۶/۰۹	۶۵/۸۶	۶۵/۳۹	۶۴/۲۷	۶۵/۴۸
TiO _۴	۰/۰۱۹۴	۰/۰۳۶	۰/۰۰۴۵	۰/۰۳۵۹	۰	۰/۰۱۹۵
Al _۲ O _۳	۱۸/۶	۱۸/۲۸	۱۸/۶۷	۱۸/۰۳	۱۷/۵	۱۸/۵
FeO	۰/۰۲۲۴	۰/۰۳۲۴	۰/۰۹۸۸	۰/۰۶۸۳	۰/۰۹۳۹	۰/۰۰۹۱
MnO	۰	۰	۰	۰/۰۱۶۹	۰	۰/۰۱۲۵
MgO	۰/۰۰۸۴	۰	۰/۰۰۹۳	۰	۰/۰۰۹۲	۰/۰۰۸۳
CaO	۰/۱۷۰۴	۰/۰۸۱۲	۰/۰۶۰۸	۰/۰۲۳۳	۰/۰۳۶۴	۰
Na _۲ O	۲/۰۵	۱/۹۶	۰/۹۲۲۴	۰/۳۴۳۸	۰/۴۵۲۱	۰/۵۳۳۱
K _۲ O	۱۲/۶۲	۱۲/۸۹	۱۴/۲۳	۱۵/۱	۱۴/۸۷	۱۴/۹۹
Cr _۲ O _۳	۰	۰	۰	۰/۰۰۷۱	۰/۰۶۳	۰/۰۰۹۹
Total ox	۹۸/۶	۹۹/۳۷	۹۹/۸۶	۹۹/۰۲	۹۷/۲۹	۹۹/۰۶
Si	۳/۰۰۷	۳/۰۲۷	۳/۰۱۴	۳/۰۲۹	۳/۰۳۲	۳/۰۱۷
Ti	۰	۰	۰	۰	۰	۰
Al	۱/۰۱۱	۰/۹۸۶	۱/۰۰۷	۰/۹۸۶	۰/۹۷۵	۱/۰۰۳
Fe ^{۲+}	۰	۰	۰/۰۰۳	۰/۰۰۳	۰/۰۰۳	۰
Mn	۰	۰	۰	۰	۰	۰
Mg	۰	۰	۰	۰	۰	۰
Ca	۰/۰۰۸	۰/۰۰۳	۰/۰۰۳	۰	۰/۰۰۳	۰
Na	۰/۱۸۴	۰/۱۷۶	۰/۰۸۲	۰/۰۳۴	۰/۰۴	۰/۰۵
K	۰/۷۴۴	۰/۷۵۴	۰/۸۳	۰/۸۹	۰/۸۹۶	۰/۸۸
Cr	۰	۰	۰	۰	۰	۰
Total cations	۴/۹۵۴	۴/۹۴۶	۴/۹۳۹	۴/۹۴۲	۴/۹۴۹	۴/۹۴۹
Ab	۰/۲۰	۰/۱۹	۰/۰۹	۰/۰۴	۰/۰۴	۰/۰۵
An	۰/۰۰۹	۰/۰۰۳	۰/۰۰۳	۰	۰/۰۰۳	۰
Or	۰/۸	۰/۸	۰/۹	۰/۹	۰/۹	۰/۹

جدول ۳- نتایج حاصل از آنالیز نقطه‌ای پیروکسن‌های نمونه‌های منطقه‌ی مورد مطالعه‌ی رباط. محاسبه‌ی کاتیون‌ها بر پایه‌ی ۶ اتم اکسیژن (اکسیدهای عناصر اصلی برحسب درصد وزنی % wt و کاتیون‌ها بر حسب (apfu (atoms per formula units)).

شماره نمونه‌ها و نقاط آنالیز شده	RA1-1-A1-PX-1	RA1-1-A4-PX-16	RA1-6-A1-PX-1	RA1-6-A5-PX-16	RA2-1-A1-PX-4
نام سنگ	هورنبلندگابرو	هورنبلندگابرو	گرانودیوریت	گرانودیوریت	الیوین‌گابرو
SiO₄	۵۲/۶۹	۵۲/۳۴	۵۳/۰۳	۵۲/۷۲	۵۱/۴۸
TiO₄	۰/۲۹۲۱	۰/۱۳۸۳	۰/۲۵۴۸	۰/۱۶۲۲	۰/۷۰۹۶
Al₂O₃	۱/۱۲۴	۰/۴۶۲۵	۰/۹۴۹۶	۰/۵۵۰۱	۳/۵۳
FeO	۸/۶۹	۷/۲۵	۱۲/۶۸	۱۱/۹۸	۶/۹
MnO	۰/۳۳۵۶	۰/۳۲۱۲	۰/۴۲۹	۰/۳۹۷۷	۰/۱۸۴۶
MgO	۱۴/۸۹	۱۵/۰۷	۱۲/۶۹	۱۳/۰۶	۱۵/۰۲
CaO	۲۱/۳۶	۲۳/۴۳	۲۰/۹۶	۲۱/۴۶	۲۲/۳۹
Na₂O	۰/۲۵۹۸	۰/۰۹۹۲	۰/۲۲۰۴	۰/۲۰۱۳	۰/۲۳۰۲
K₂O	۰/۰۰۶۷	•	۰/۰۰۷۵	•	۰/۰۰۸۴
Cr₂O₃	۰/۰۰۸۷	•	•	•	۰/۰۰۴۷
Total ox	۹۹/۶۶	۱۰۰/۱۱	۱۰۱/۲۲	۱۰۰/۵۳	۱۰۰/۶۶
Si	۱/۹۶۷	۱/۹۷۷	۱/۹۸۲	۱/۹۸۱	۱/۸۹۴
Ti	۰/۰۰۹	۰/۰۰۴	۰/۰۰۶	۰/۰۰۴	۰/۰۲
Al	۰/۰۴۹	۰/۰۲۲	۰/۰۴۱	۰/۰۲۳	۰/۱۵۵
Fe^۲	۰/۲۷۱	۰/۲۲۵	۰/۳۹۵	۰/۳۷۷	۰/۲۱۲
Mn	۰/۰۱۱	۰/۰۱۱	۰/۰۱۳	۰/۰۱۴	۰/۰۰۷
Mg	۰/۸۲۸	۰/۸۳۳	۰/۷۰۷	۰/۷۳۲	۰/۸۲۴
Ca	۰/۸۵۵	۰/۹۳۱	۰/۸۳۹	۰/۸۶۵	۰/۸۸۲
Na	۰/۰۱۸	۰/۰۰۸	۰/۰۱۸	۰/۰۱۴	۰/۰۱۸
K	•	•	•	•	•
Cr	•	•	•	•	۰/۰۰۵
Total cations	۴/۰۰۸	۴/۰۱۲	۴/۰۰۲	۴/۰۱۱	۴/۰۱۷
Al^(IV)	۰/۰۳۳	۰/۰۲۳	۰/۰۱۸	۰/۰۱۹	۰/۱۰۶
Al^(VI)	۰/۰۱۶	-۰/۰۰۱	۰/۰۲۳	۰/۰۰۴	۰/۰۴۹
Woll	۰/۸۴	۰/۹۲۴	۰/۸۳	۰/۸۶۱	۰/۸۲۹
En	۰/۸۲۸	۰/۸۳۳	۰/۷۰۷	۰/۷۳۲	۰/۸۲۴
Fs	۰/۱۴۱	۰/۱۱۸	۰/۲۰۴	۰/۱۹۶	۰/۱۱

ادامه جدول ۳- نتایج حاصل از آنالیز نقطه‌ای پیروکسن‌های نمونه‌های منطقه‌ی مورد مطالعه‌ی رباط. محاسبه‌ی کاتیون‌ها بر پایه‌ی ۶ اتم اکسیژن (اکسیدهای عناصر اصلی برحسب درصد وزنی % wt و کاتیون‌ها بر حسب (apfu (atoms per formula units)).

شماره نمونه‌ها و نقاط آنالیز شده	RA۲-۱-A۲-PXa-۸	RA۲-۱-A۲-PXb-۹	RA۲-۱-A۳-PX-۱۵	RA۲-۱-A۴-PX-۱۸	RA۲-۱-A۵-PX-۲۱
نام سنگ	الیوین گابرو				
SiO _۴	۵۰/۹۶	۵۰/۴۷	۵۰/۰۸	۵۲/۳۶	۵۲/۰۴
TiO _۴	۰/۱۶	۰/۱۵۸۸۴	۰/۱۸۶۸۸	۰/۱۵۳۰۴	۰/۱۵۴۰۹
Al _۲ O _۳	۳/۶۶	۳/۲۷	۴/۶۵	۲/۶۶	۲/۹۹
FeO	۷/۱۵	۷/۰۵	۶/۵۴	۶/۸۷	۶/۶۵
MnO	۰/۲۱۵۲	۰/۱۷۳۴	۰/۱۴۹۲	۰/۱۹۴۶	۰/۱۴۰۵
MgO	۱۴/۷۱	۱۴/۹۳	۱۴/۰۵	۱۵/۶	۱۵/۲۴
CaO	۲۲	۲۲	۲۲/۰۳	۲۲/۲۷	۲۱/۹۸
Na _۲ O	۰/۳۴۸۵	۰/۱۸۴۳	۰/۳۷۵۷	۰/۲۹۲۹	۰/۲۴۲۷
K _۲ O	۰	۰/۰۳۹۳	۰/۰۲۶۱	۰/۰۰۳۲	۰/۰۱۰۲
Cr _۲ O _۳	۰/۲۳۵۷	۰/۱۲۰۹	۰/۲۸۲۷	۰/۱۱۹۵	۰/۱۷۷۱
Total ox	۹۹/۸۸	۹۸/۸۳	۹۹/۵۵	۱۰۰/۹	۱۰۰/۱
Si	۱/۸۹	۱/۸۹۶	۱/۸۶۳	۱/۹۱۹	۱/۹۲۱
Ti	۰/۰۱۸	۰/۰۱۶	۰/۰۲۵	۰/۰۱۵	۰/۰۱۵
Al	۰/۱۶۱	۰/۱۴۵	۰/۲۰۵	۰/۱۱۵	۰/۱۲۹
Fe ^۲	۰/۲۲۳	۰/۲۲۱	۰/۲۰۳	۰/۲۱۱	۰/۲۰۶
Mn	۰/۰۰۷	۰/۰۰۵	۰/۰۰۴	۰/۰۰۷	۰/۰۰۴
Mg	۰/۸۱۴	۰/۸۳۵	۰/۸۰۶	۰/۸۵۱	۰/۸۳۸
Ca	۰/۸۷۴	۰/۸۸۵	۰/۸۷۸	۰/۸۷۳	۰/۸۷
Na	۰/۰۲۶	۰/۰۱۴	۰/۰۲۶	۰/۰۲۲	۰/۰۱۸
K	۰	۰	۰	۰	۰
Cr	۰/۰۰۹	۰/۰۰۵	۰/۰۰۹	۰/۰۰۵	۰/۰۰۵
Total cations	۴/۰۲۲	۴/۰۲۲	۴/۰۱۸	۴/۰۱۸	۴/۰۰۶
Al ^(IV)	۰/۱۱	۰/۱۰۴	۰/۱۳۷	۰/۰۸۱	۰/۰۷۹
Al ^(VI)	۰/۰۵۱	۰/۰۴۱	۰/۰۶۸	۰/۰۳۴	۰/۰۵
Woll	۰/۸۱۹	۰/۸۳۳	۰/۸۰۹	۰/۸۳۳	۰/۸۳۱
En	۰/۸۱۴	۰/۸۳۵	۰/۸۰۶	۰/۸۵۱	۰/۸۳۸
Fs	۰/۱۱۵	۰/۱۱۳	۰/۱۰۴	۰/۱۰۹	۰/۱۰۵

جدول ۴- نتایج حاصل از آنالیز نقطه‌ای الیون‌های نمونه‌های منطقه‌ی مورد مطالعه‌ی رباط. محاسبه‌ی کاتیون‌ها بر پایه‌ی ۴ اتم اکسیژن. (اکسیدهای عناصر اصلی بر حسب درصد وزنی wt% و کاتیون‌ها بر حسب (apfu) (atoms per formula units).

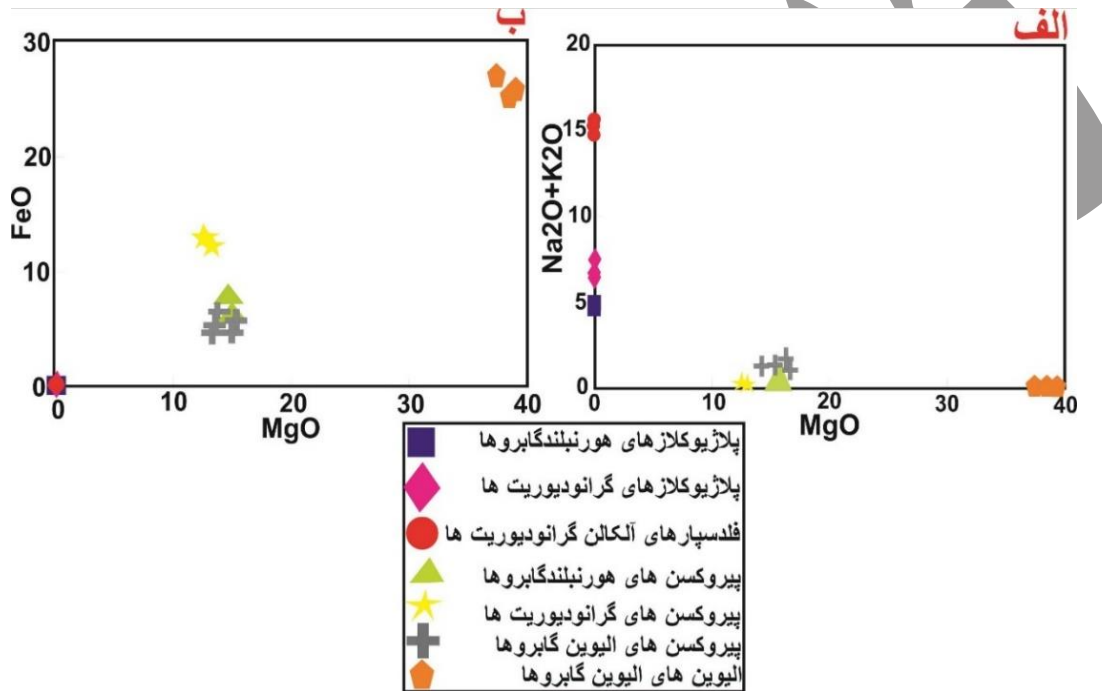
شماره نمونه‌ها	RA۲-۱-A۱-OI-۵	RA۲-۱-A۲-OI-۱۱	RA۲-۱-A۲-OI-۱۲	RA۲-۱-A۳-OI-۱۶	RA۲-۱-A۴-OI-۱۷	RA۲-۱-A۵-OI-۲۲	RA۲-۱-A۶-OI-۲۴
----------------	---------------	----------------	----------------	----------------	----------------	----------------	----------------

نقطه آنالیز شده							
نام سنگ	اليوین گایبرو						
SiO_4	۳۸/۶۵	۳۸/۶۸	۳۸/۸۱	۳۸/۵۲	۳۸/۴۳	۳۸/۵۹	۳۸/۶۵
TiO_4	·	۰/۰۲۲۴	۰/۰۳۹۳	۰/۰۱۴	·	۰/۰۰۲۸	۰/۰۶۷۳
Al_2O_3	۰/۰۰۸	۰/۰۲۹۸	۰/۰۰۰۵	۰/۰۱۵۸	۰/۰۱۹۱	·	·
FeO	۲۵/۵۲	۲۶/۷۳	۲۵/۷۳	۲۵/۱۶	۲۴/۹۷	۲۴/۸۶	۲۵/۲۷
MnO	۰/۳۶۶	۰/۴۲۱۴	۰/۳۶۰۶	۰/۴۰۵۶	۰/۳۶۲۸	۰/۲۳۱۴	۰/۴۰۶۳
MgO	۳۸/۲۵	۳۷/۴۷	۳۸/۵۵	۳۸/۷۸	۳۹/۶۲	۳۹/۰۸	۳۸/۴۸
CaO	۰/۰۲۰۹	۰/۰۲۵۵	۰/۰۰۶۹	۰/۰۰۸۸	۰/۰۱۹۱	۰/۰۰۳۷	۰/۰۲۳۸
Na_2O	·	·	·	·	۰/۰۱۳	·	۰/۰۲۹۷
K_2O	·	۰/۰۱۱۸	۰/۰۰۰۴	·	·	·	·
Cr_2O_3	۰/۰۱۰۶	·	·	·	۰/۰۱۲۶	·	·
Total ox	۱۰۲/۸۳	۱۰۳/۳۹	۱۰۳/۵	۱۰۲/۹	۱۰۳/۴۵	۱۰۲/۸۷	۱۰۲/۹۳
Si	۰/۹۹۱	۰/۹۹۳	۰/۹۹	۰/۹۸۶	۰/۹۷۹	۰/۹۸۶	۰/۹۸۹
Ti	·	·	·	·	·	·	۰/۰۰۲
Al	·	·	·	·	·	·	·
Fe^{r}	۰/۰۴۷	۰/۰۷۳	۰/۰۴۸	۰/۰۳۸	۰/۰۳۲	۰/۰۳۱	۰/۰۴۲
Mn	۰/۰۰۸	۰/۰۰۹	۰/۰۰۸	۰/۰۰۹	۰/۰۰۸	۰/۰۰۸	۰/۰۰۹
Mg	۱/۴۶۳	۱/۴۳۲	۱/۴۶۵	۱/۴۸	۱/۵۰۳	۱/۴۸۸	۱/۴۶۸
Ca	·	·	·	·	·	·	·
Na	·	·	·	·	·	·	·
K	·	·	·	·	·	·	·
Cr	·	·	·	·	·	·	·
Total cation	۳/۰۰۹	۳/۰۰۷	۳/۰۱۱	۳/۰۱۳	۳/۰۲۲	۳/۰۱۳	۳/۰۰۹
Fo	۷۲/۷۹	۷۱/۴۲	۷۲/۷۸	۷۳/۳۴	۷۳/۸۶	۷۳/۷۰	۷۳/۰۳
Fa	۲۷/۲۱	۲۸/۵۸	۲۷/۲۲	۲۶/۶۶	۲۶/۱۴	۲۶/۳۰	۲۶/۹۷

بحث و بررسی

نمودار فنر برخی از اکسیدهای عناصر اصلی (بر حسب درصد وزنی %) در برابر MgO ، برای نمونه‌های منطقه‌ی مورد مطالعه، در شکل ۸ نشان داده شده است. با پیشرفت عنصر MgO ، از کانی‌های فلزیک به طرف کانی‌های مافیک، نمودار $\text{Na}_2\text{O}+\text{K}_2\text{O}$ ، روند نزولی و نمودار FeO ، روند صعودی نشان می‌دهد. با افزایش عنصر MgO ، نمودار $\text{Na}_2\text{O}+\text{K}_2\text{O}$ ، از کانی‌های فلزیک به طرف کانی‌های مافیک، روند نزولی نشان می‌دهد (شکل ۸-الف). به این صورت که با پیشرفت عنصر MgO ، میزان عناصر O ، از

فلدسپارهای آلکالن گرانودیوریت‌ها، ۱۲/۹۶ تا ۱۷/۱۵ درصد، به‌سمت پلازیوکلازهای گرانودیوریت‌ها، ۶/۲۹ تا ۷/۷۱ درصد، به‌سمت پلازیوکلازهای هورنبلندگابروها، از ۳/۹۸ تا ۵/۱۵ درصد، پیروکسن‌های الیوین‌گابروها، ۰/۱۸ تا ۰/۴ درصد، پیروکسن‌های گرانودیوریت‌ها، ۰/۲۰ تا ۰/۲۳ درصد، پیروکسن‌های هورنبلندگابروها، ۰/۰۹۹۲ تا ۰/۰۲۷ درصد و سرانجام به‌طرف الیوین‌های الیوین‌گابرو ۰/۰۴ درصد کاهش می‌یابد. روند نزولی نمودار $\text{MgO} + \text{Na}_2\text{O}$ در ازای افزایش O ، از کانی‌های فلزیک به‌سمت کانی‌های مافیک، برای نمونه‌های این منطقه، بیانگر آن است که شعاع یونی بزرگ عنصر سدیم (۱/۰۲ آنگستروم) و عنصر پتاسیم (۱/۳۸ آنگستروم) مانع از نفوذ این عناصر به شبکه‌ی کانی‌های تبلوریافته در مراحل اولیه‌ی تبلور (کانی‌های نظیر الیوین و پیروکسن) می‌شود [۲۱].



شکل ۸. نمودار برخی از اکسیدهای عناصر اصلی در برابر MgO در کانی‌های اصلی نمونه‌های منطقه‌ی مورد مطالعه.

نمودار در برابر FeO در برابر MgO ، از کانی‌های فلزیک به‌سمت کانی‌های مافیک، روند صعودی نشان می‌دهد (شکل ۸-ب). به‌این صورت که با پیشرفت عنصر O از فلدسپارهای آلکالن گرانودیوریت‌ها، ۰/۰۰۹۱ تا ۰/۰۹۸۸ درصد، به‌سمت پلازیوکلازهای هورنبلندگابروها، ۰/۱ تا ۰/۲ درصد، به‌طرف پلازیوکلازهای گرانودیوریت‌ها، ۰/۰۳ تا ۰/۰ درصد، پیروکسن‌های الیوین‌گابرو، ۰/۵ تا ۰/۱ درصد، پیروکسن‌های هورنبلندگابروها، ۷/۲۵ تا ۷/۲۷ درصد، سپس به‌سمت پیروکسن‌های گرانودیوریت‌ها، ۱۱/۹۸ تا ۱۲/۷ درصد، پیروکسن‌های الیوین‌های الیوین‌گابروها، ۰/۹ تا ۰/۲۶ درصد افزایش می‌یابد. عنصر Fe ، عنصری سازگار است و در مراحل اولیه‌ی تفریق، به ترکیب کانی‌های فرومیزین مانند الیوین و پیروکسن نفوذ می‌کند. در فازهای اولیه‌ی تفریق، مقدار MgO زیاد و مقدار آهن کم بوده است. به‌طوری که با پیشرفت تفریق مagma، کانی‌های تفریق یافته‌تر نظیر الیوین‌ها، FeO بیشتری دارد [۲۲]. افزایش FeO با پیشرفت MgO در سنگ‌های گابرویی اصولاً به‌وسیله‌ی فرآیندهای تبلور تفریقی، شرایط فوگاسیته‌ی اکسیژن، ترکیب مagma‌های اولیه و برهم‌کنش‌های بین کانی‌های متبلور صورت می‌گیرد [۲۳].

نمونه‌های منطقه‌ی مورد مطالعه، حاوی بافت‌های فرعی غربالی، افیتیک، اینترگرانولار، پوئی‌کلیتیک و آنکلاو هم‌ماگما هستند. بافت‌های فرعی (نامتعادل) و آنکلاوهای موجود در نمونه‌های منطقه‌ی مورد مطالعه، نشان‌دهنده‌ی نقش موثر پدیده‌ی آلایش ماگمایی و تبلور تفریقی است [۱۸، ۲۴]. در نمونه‌های منطقه‌ی مورد مطالعه، کانی پیروکسن، در حال تبدیل به کانی آمفیبول می‌باشد که آلتراسیون کانی‌های پیروکسن و تبدیل شدن آن‌ها به آمفیبول‌ها را اورالیتیزاسیون گویند [۱۹]. همچنین، شکل مدور بعضی از کانی‌های الیوین در نمونه‌های این منطقه، نشان‌گر عدم تعادل بر اثر تغییر ترکیب شیمیایی، فشار و دما است که مجموعاً بر پایداری ترمودینامیکی بلورهای درشت پایداری که قبلاً متبلور شده‌اند، نقش داشته و موجب هضم و تحلیل آن‌ها شده است. در برخی قسمت‌های این سنگ‌ها، الیوین‌ها به صورت کشیده هستند که می‌توانند نشانه‌ی تبلور در دمای بالا و در شرایط گوشه‌ای باشند [۲۵، ۲۶].

نحوه‌ی تحولات ماگمایی در اتاق ماگمایی توده‌های مافیک منطقه‌ی مورد مطالعه، به صورت دو فرضیه ذکر می‌شود که عبارتند از: ۱- فرایند اختلاط ناپذیری که می‌تواند موجب ایجاد قسمت‌های آنورتوزیتی با ترکیب شیمیایی ثابتی از کانی پلازیوکلاز شود و به عملت شناورشدن و جداشدن از بخش‌های غنی از آهن در انتهای آشیانه‌ی آشیانه‌ی ماگمایی، کمپلکس‌های مجزای آنورتوزیتی در قسمت‌های بالای آشیانه و ماگمای مافیک در قسمت‌های پایینی آشیانه ایجاد شود [۲۷]. این فرضیه، با شواهد صحرایی منطقه‌ی مورد مطالعه همانگی ندارد. به این دلیل که رگه‌های آنورتوزیتی در داخل تروکتولیت‌ها وجود دارند نه به صورت مجموعه‌های مجزا و همچنین، این مطلب که فرایند اختلاط ناپذیری می‌تواند موجب ایجاد قسمت‌های آنورتوزیتی با ترکیب شیمیایی ثابتی از کانی پلازیوکلاز شود نیز رد می‌شود زیرا از نظر شیمی کانی، پلازیوکلازها ترکیب شیمیایی ثابتی ندارند و از نوع آندزین تا لابرادوریتی هستند. ۲- بر اثر فرایند تبلور تفریقی یک ماگمای بازالتی بدون آب غنی از آلومین در اعمق پوسته، امکان دارد کومولاها را حاوی پلازیوکلاز و الترامافیک ایجاد گردد [۲۸]. اگر این ماگماهای بازالتی در اعمق، در محدوده‌های فشارهای ۱۵ تا ۲۰ کیلوبار تبلور یابند، کانی‌های ارتوبیروکسن به شکل کانی‌هایی در مذاب ایجاد می‌گردد که حاصل آن، به وجود آمدن آنورتیت نوریتی می‌باشد. در حالی که اگر این نوع ماگما در اعماق کم تبلور یابد، کانی‌های الیوین به صورت فاز لیکیدوس، جایگزین هیبرستن می‌گردد و آنورتوزیت تروکتولیتی ایجاد می‌شود [۲۹]، در نتیجه امکان دارد در هنگام فرایند تبلور تفریقی توده‌ی نفوذی مافیک در اعماق پوسته‌ی تحتانی (اعماق با فشارهای کم‌تر از ۱۲ کیلوبار) توده‌های کوچکی از آنورتوزیت و الترامافیک (سرشار از کانی‌های الیوین و کلینوپیروکسن) ایجاد شده باشد و به این دلیل، امکان تبلور کانی‌های ارتوبیروکسن وجود ندارد. از نظر بررسی‌های شیمی کانی، پیروکسن‌های نمونه‌های منطقه‌ی مورد مطالعه‌ی ربط، در محدوده‌ی دیوبسید و کلینوپیروکسن قرار دارند و از نظر بررسی‌های صحرایی، در تروکتولیت‌های منطقه‌ی مورد مطالعه‌ی ربط، رگه‌های آنورتوزیت وجود دارد که همه‌ی این شواهد، فرضیه‌ی تبلور تفریقی ماگمای بازالتی در اعماق کم‌تر از ۱۲ کیلوبار را تأیید می‌کند و این رگه‌های آنورتوزیتی، احتمالاً بر اثر فرایند تفرقی (خصوصاً مواد فرار)، تزریق‌شدن ماگماهای جدید و حریان بافت‌آن ایجاد می‌گردد. چنین بحثی با این دلیل تأیید می‌شود که در ۱۸۰ تا ۱۸۷ میلیون سال پیش (پایان کیمرین پیشین) یک ضخیم‌شدگی در پوسته‌ی قاره‌ای محدوده‌ی منطقه‌ی مورد مطالعه، ایجاد می‌شود و موجب به وجود آمدن عمق مورد نیاز ۹ تا ۱۲ کیلوبار برای جایگیری ماگماها در این اعماق گردید [۲۱، ۳۰].

سن توده‌ی نفوذی مافیک $1/9 \pm 1/5$ میلیون سال (ژوراسیک) و سن باتولیت گرانودیوریت شهرستان شهریابک، $1/8 \pm 1/1$ میلیون سال (ژوراسیک) می‌باشد (فضل‌نیا و همکاران، ۲۰۰۷). بنابراین سن توده‌ی نفوذی مافیک، با سن افیولیت‌های شهریابک، ۵۷ تا ۶۰ میلیون سال پیش (پالئوسن) [۳۱، ۳۲، ۳۳] همانگی ندارد. بنابراین، بر اساس تفاوت سن مشاهده شده، توده‌ی نفوذی مافیک این منطقه، قسمت‌هایی از افیولیت شهریابک نیستند و همچنین، در محدوده‌ی منطقه‌ی مورد مطالعه، شواهدی از دگرشکلی جایگزینی

افیولیت‌ها مانند سکانس‌های افیولیتی، نظیر رسوبات پلازیک، گابروهای توده‌ای، گدازه‌های بالشی، دایک‌های صفحه‌ای و سکانس‌های گوشته‌ای مانند پریدوتیت‌ها وجود ندارد.

برداشت

توده‌های نفوذی گابرویی، بر اثر کاهش حرارت و تبلور کانی‌های الیوین و پیروکسن ایجاد شده‌اند. بنابراین، در اثر تبلور این ماقماها، تجمع کانی‌ها و جورشده‌گی انجام می‌شود و کومولاهای الترامافیک و آنورتوزیت‌ها در توده‌ی نفوذی مافیک ایجاد می‌گردند. همچنین، نمونه‌های منطقه‌ی مورد مطالعه، حاوی بافت‌های فرعی غربالی، افیتیک، اینترگرانولار، پوئی‌کیلیتیک و آنکلاو هم‌ماگما هستند. بافت‌های فرعی (نامتعادل) و آنکلاوهای موجود در نمونه‌های منطقه‌ی مورد مطالعه، نشان‌دهنده‌ی نقش موثر پدیده‌ی آلایش ماقماهی و تبلور تفریقی است.

با توجه به مطالعات صحرایی و موارد زیر، گابروهای منطقه‌ی مورد مطالعه، جزء گابروهای پیش‌قرابول توده‌ی نفوذی گرانودیوریت شهریابک می‌باشد که عبارتند از: ۱- سن گابروها بیشتر از گرانودیوریت‌ها می‌باشد. ۲- عدم وجود آنکلاو از گرانودیوریت در داخل گابروها. ۳- گابروها به صورت خطی و در حاشیه‌ی گرانودیوریت‌ها قرار دارند. ۴- رگه‌های آنورتوزیتی که در گابروها تزریق شده‌اند و بعد از گابروها، بیرون‌زده‌گی دارند، مربوط به گرانودیوریت‌ها می‌باشند.

در بررسی‌های شیمی کانی‌ها، پلاژیوکلازها، از نوع آندزین تا لابرادوریتی و فلدوپارهای آلکالن، از نوع ارتوکلاز هستند. پیروکسن‌ها، در محدوده‌ی کلینوپیروکسن (دیوپسید) قرار دارند. در بررسی‌های پتروگرافی نمونه‌های منطقه‌ی مورد مطالعه، مشاهده شد که الیوین‌ها به صورت کشیده هستند که نشانه‌ی دگرسانی دمای بالا و با منشأ گوشته‌ای است و از نظر شیمی کانی‌ها، الیوین‌ها، از نوع کریزولیت و سرشار از منیزیم می‌باشند که الیوین‌های غنی از منیزیم، در دمای بالا و در گوشه و یا در سنگ‌های آذرینی که از گوشته بالا می‌آیند، ایجاد می‌شوند.

قدرتانی

از دکتر مارکو فیلیپی برای آموزش دستگاه‌های موجود در آزمایشگاه دانشگاه یونیمی میلان (ایتالیا) و دکتر جان لوکا سسا و آندریا ریسپلنندنه تکنسین‌های آزمایشگاه و تمام افراد بخش زمین‌شناسی دانشگاه یونیمی میلان که صبورانه در انجام آزمایشات کمک کردند، تشکر می‌کنم. از وزارت علوم، تحقیقات و فناوری ایران، برای اعطای بورسیه‌ی فرصت مطالعاتی و دانشگاه شهید باهنر کرمان (ایران) سپاسگزارم.

مراجع

- [۱] Alavi, M., Tectonics of the Zagros orogenic belt of Iran: new data and interpretations. *Tectonophysics*, 229(3-4), (1994) 211-238.
- [۲] Fazlnia, M., Moradian, A., Rezaei, K., Moazen, M., & ALI, P. S., Synchronous activity of anorthositic and S-type granitic magmas in Chah-Dozdan batholith, Neyriz, Iran: evidence of zircon SHRIMP and monazite CHIME dating (2007).
- [۳] Berberian, M., & King, G. C. P., Towards a paleogeography and tectonic evolution of Iran. *Canadian journal of earth sciences*, 18(2), (1981) 210-265.

- [۴] Fathi, Behrouz. the investigation of petrology and mineral chemistry granite dykes in the Diorite intrusive body, Kangarah WS- Ghorveh (Kurdistan Province), (In Persian), *The 23rd Conference of Crystallography and Mineralogy of Iran, Damghan University*. (2016).
- [۵] Mohajjel, M., & Fergusson, C. L., Dextral transpression in Late Cretaceous continental collision, Sanandaj–Sirjan zone, western Iran. *Journal of Structural geology*, 22(8), (2000) 1125-1139.
- [۶] Mohajjel, M., Fergusson, C. L., & Sahandi, M. R., Cretaceous–Tertiary convergence and continental collision, Sanandaj–Sirjan zone, western Iran. *Journal of Asian Earth Sciences*, 21(4), (2003) 397-412.
- [۷] Nabavi, M. An introduction to the geology of Iran, (In Persian), (1977) 109.
- [۸] Stöcklin, J., Structural history and tectonics of Iran: a review. *AAPG bulletin*, 52(7), (1968) 1229-1258.
- [۹] Fazlnia, A., Partial melting of subducted clay xenoliths in Tale Pahlavani batholith, Shahr-Babak: the reasons for the formation of peraluminous granite intermediates, (In Persian), *Science Journal of Shahid Chamran University, Number 23 (Part B)*, (2010) 61-78.
- [۱۰] Shahabpour, J. Tectonic evolution of the orogenic belt in the region located between Kerman and Neyriz. *Journal of Asian Earth Sciences*, 24(4), (2005) 405-417.
- [۱۱] Fazlnia, A., Schenk, V., Appel, P., & Alizade, A. Petrology, geochemistry, and geochronology of the Chah-Bazargan gabbroic intrusions in the south Sanandaj–Sirjan zone, Neyriz, Iran. *International Journal of Earth Sciences*, 102, (2013) 1403-1426.
- [۱۲] Fazlnia, A., Studying the batholith in the southwest of Shahrbabak and its relationship with the metamorphic rocks in the northeast of Neyriz. PhD thesis, (In Persian), *Shahid Bahonar University of Kerman, Faculty of Science*, (2007) P. 339.
- [۱۳] Alavi, M., Sedimentary and structural characteristics of the Paleo-Tethys remnants in northeastern Iran, *Geological society of America Bulletin*, 103, (1991) 983-992.
- [۱۴] Valeh, N., & Alavi Tehrani, N., Geological Survey of Iran. 1:250000 Neyriz Scale Map (1985).
- [۱۵] Shelley, D., Igneous and metamorphic rocks under the microscope: classification, textures, microstructures and mineral preferred-orientations. (*No Title*) (1993).
- [۱۶] Streckeisen, A. To each plutonic rock its proper name. *Earth-science reviews*, 12(1) (1976) 1-33.
- [۱۷] Bédard, J. H. Partitioning coefficients between olivine and silicate melts. *Lithos*, 83(3-4) (2005) 394-419.
- [۱۸] Best, M. & Christiansen, E. H. Igneous petrology. Blackwell Science (2001) 458 p.
- [۱۹] Deer, W. A., Howie, R. A., & Zussman, J., *An introduction to the rock-forming minerals*. Mineralogical Society of Great Britain and Ireland (2013) 510 p.

- [۲۰] Morimoto, N., Fabries, J., Ferguson, A. K., Ginzburg, I. V., Ross, M., Seifert, F. A., ... & Gottardi, G., Nomenclature of amphiboles. *American Mineralogist*, 73 (1988) 1123-1133.
- [۲۱] Zhao, J. H., & Zhou, M. F. Geochemistry of Neoproterozoic mafic intrusions in the Panzhihua district (Sichuan Province, SW China): Implications for subduction-related metasomatism in the upper mantle. *Precambrian research*, 152(1-2), (2007) 27-47.
- [۲۲] Reichow, M. K., Saunders, A. D., White, R. V., Al'Mukhamedov, A. I., & Medvedev, A. Y. Geochemistry and petrogenesis of basalts from the West Siberian Basin: an extension of the Permo-Triassic Siberian Traps, Russia. *Lithos*, 79(3-4) (2005) 425-452.
- [۲۳] Khalil, K., Summers, P., & El-Shazly, A. Origin of the post-collisional younger gabbroic rocks and the associated Fe-Ti oxide ores, Abu Ghalaga area, Southern Eastern Desert, Egypt: mineralogical and geochemical constraints. *Arabian Journal of Geosciences*, 16(3) (2023) 160.
- [۲۴] Filipov, M., & de Assis Janasi, V. The Mauá granitic massif, Central Ribeira Belt, São Paulo: petrography geochemistry and U-Pb dating. *Brazilian Journal of Geology*, 31(3) (2008) 341-348.
- [۲۵] Hepworth, L. N., O'Driscoll, B., Gertisser, R., Daly, J. S., & Emeleus, C. H. Incremental construction of the unit 10 Peridotite, Rum eastern layered intrusion, NW Scotland. *Journal of Petrology*, 58(1) (2017) 137-166.
- [۲۶] Hepworth, L. N., Kaufmann, F. E., Hecht, L., Gertisser, R., & O'Driscoll, B. Braided peridotite sills and metasomatism in the Rum Layered Suite, Scotland. *Contributions to Mineralogy and Petrology*, 175 (2020) 1-25.
- [۲۷] Philpotts, A. R. A model for the generation of massif-type anorthosites. *Canadian Mineralogist*, 19(2) (1981) 233-253.
- [۲۸] Green, T. H. High-pressure experimental studies on the origin of anorthosite. *Canadian Journal of Earth Sciences*, 6(3) (1969) 427-440.
- [۲۹] Simmons, E. C., & Hanson, G. N. Geochemistry and origin of massif-type anorthosites. *Contributions to Mineralogy and Petrology*, 66 (1978) 119-135.
- [۳۰] Fazlnia, A., Schenk, V., van der Straaten, F., & Mirmohammadi, M. Petrology, geochemistry, and geochronology of trondhjemites from the Qori Complex, Neyriz, Iran. *Lithos*, 112(3-4), (2009) 413-433.
- [۳۱] Campbell, K., Ghazi, A. M., LaTour, T., & Hassanipak, A. A. Geochemistry, petrology and tectonics of the Shahr-Babak ophiolite, SE Iran. *Geol. Soc. Am., SE Sect. Abstr. Progr*, 31(9), (1999) 485-497.
- [۳۲] Ghazi, A. M., Pessagno, E. A., Hassanipak, A. A., Kariminia, S. M., Duncan, R. A., & Babaie, H. A. Biostratigraphic zonation and 40Ar-39Ar ages for the Neotethyan Khoy ophiolite of NW Iran. *Palaeogeography, Palaeoclimatology, Palaeoecology*, 193(2) (2003) 311-323.

[۳۴] Ghazi, A. M., Hassani Pak, A. A., Mahoney, J. J., & Duncan, R. A. Geochemical characteristics, 40Ar - 39Ar ages and original tectonic setting of the Band-e-Zeyarat/Dar Anar ophiolite, Makran accretionary prism, SE Iran. *Tectonophysics*, 393(1-4) (2004) 175-196.

